



Műholdradar interferometria és alkalmazása a geodéziában



Ambrus Bence

Geodéziai alapmunkálatok 2018/19/1



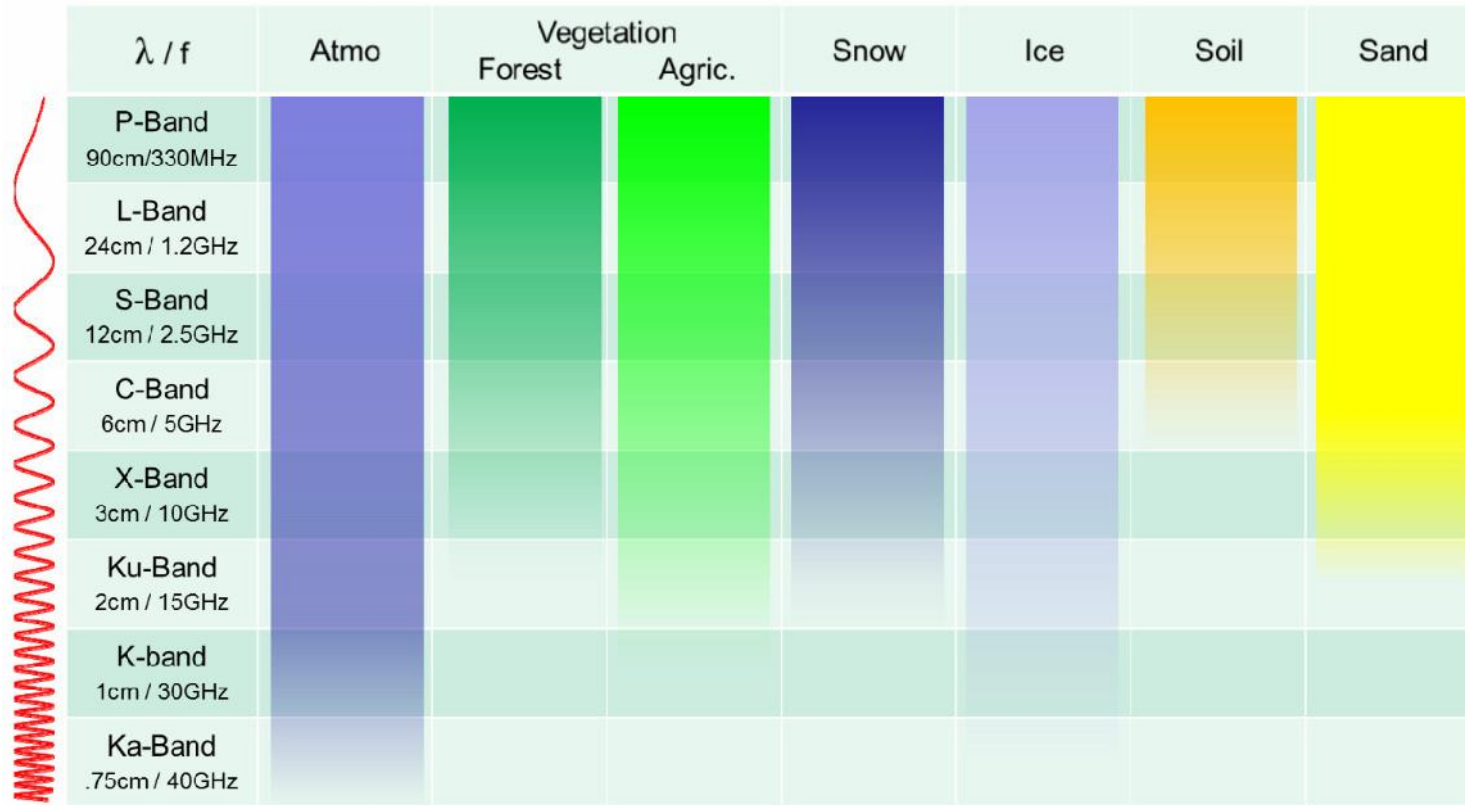
BUDAPESTI MŰSZAKI
ÉS GAZDASÁGTUDOMÁNYI EGYETEM
Építőmérnöki Kar - építőmérnöki képzés 1782 óta

Általános és Felsőgeodézia Tanszék

MICSODA A RADAR?

- Alapvetően távmérő eszköz: a kibocsátott jel (elektromágneses hullám) és annak visszaérkezése között eltelt időt méri.
- A geodéziában/távérzékelésben alkalmazott radarok az ún. képalkotó radarok (a visszaérkező jel intenzitását is rögzítik):
 - *RAR (Real Aperture Radar, Valódi Apertúrájú Radar): valós, fizikai antennával (apertúrával) rendelkezik.*
 - *SAR (Synthetic Aperture Radar, Szintetikus Apertúrájú Radar): matematikailag szintetizált (számolással, mesterségesen “létrehozott” apertúra).*

RADAR HULLÁMHOSSZAK, FREKVENCIÁK ÉS PENETRÁCIÓJUK



A RADAR KÉPALKOTÁSA

A felvétel koordináta-
rendszeré:

- azimut: haladási irányossal
megegyező
- range: a haladási irányra
merőleges, oldalra néző

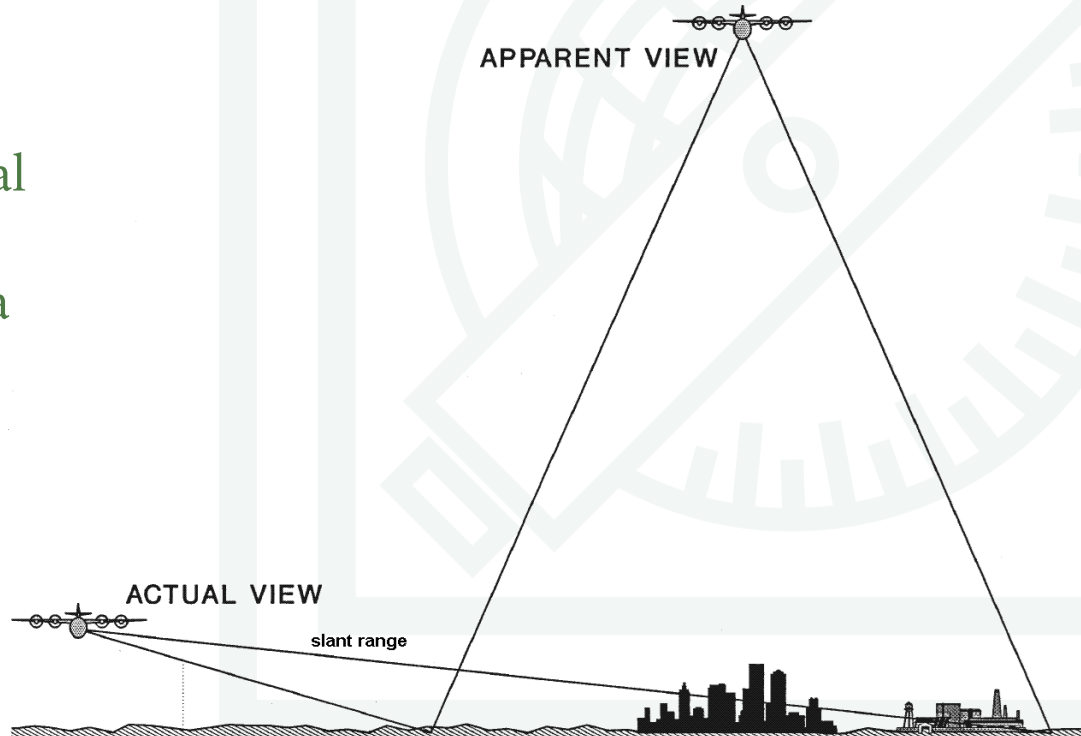


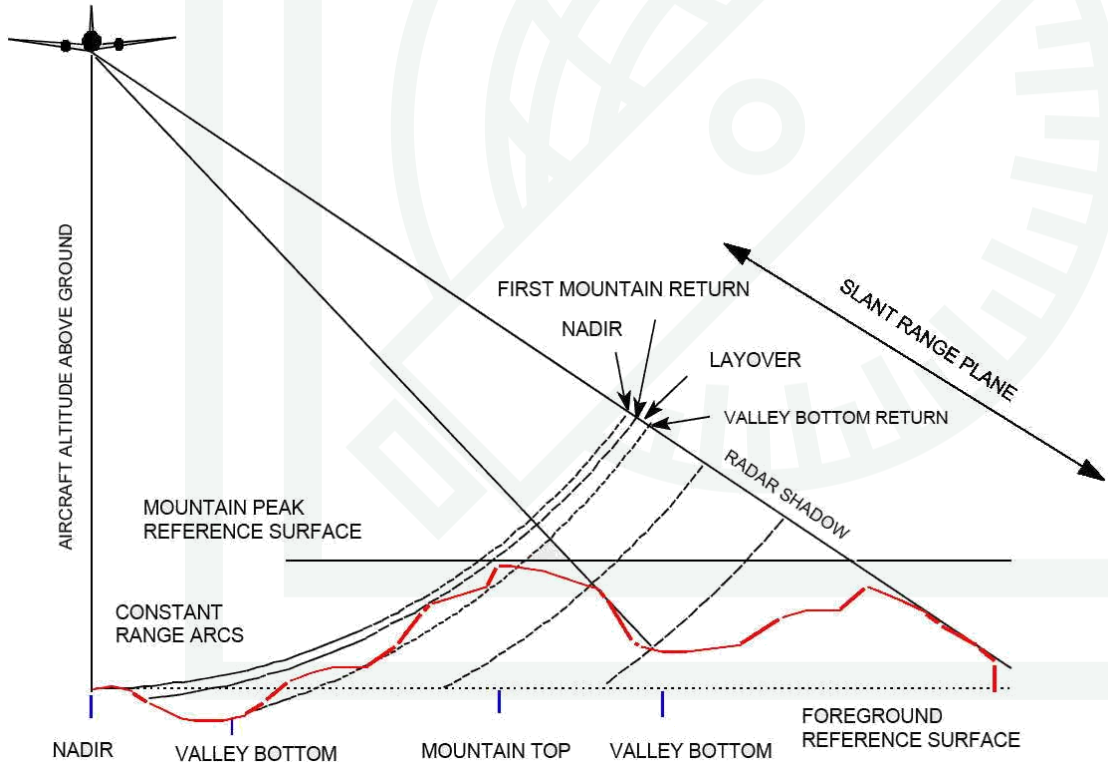
Figure 5-10. Perceptual confusion in synthetic aperture radar (SAR) images – images obtained from the side appear like images obtained from overhead.

KÉPALKOTÁS – ÁTHAJLÁS (LAYOVER)

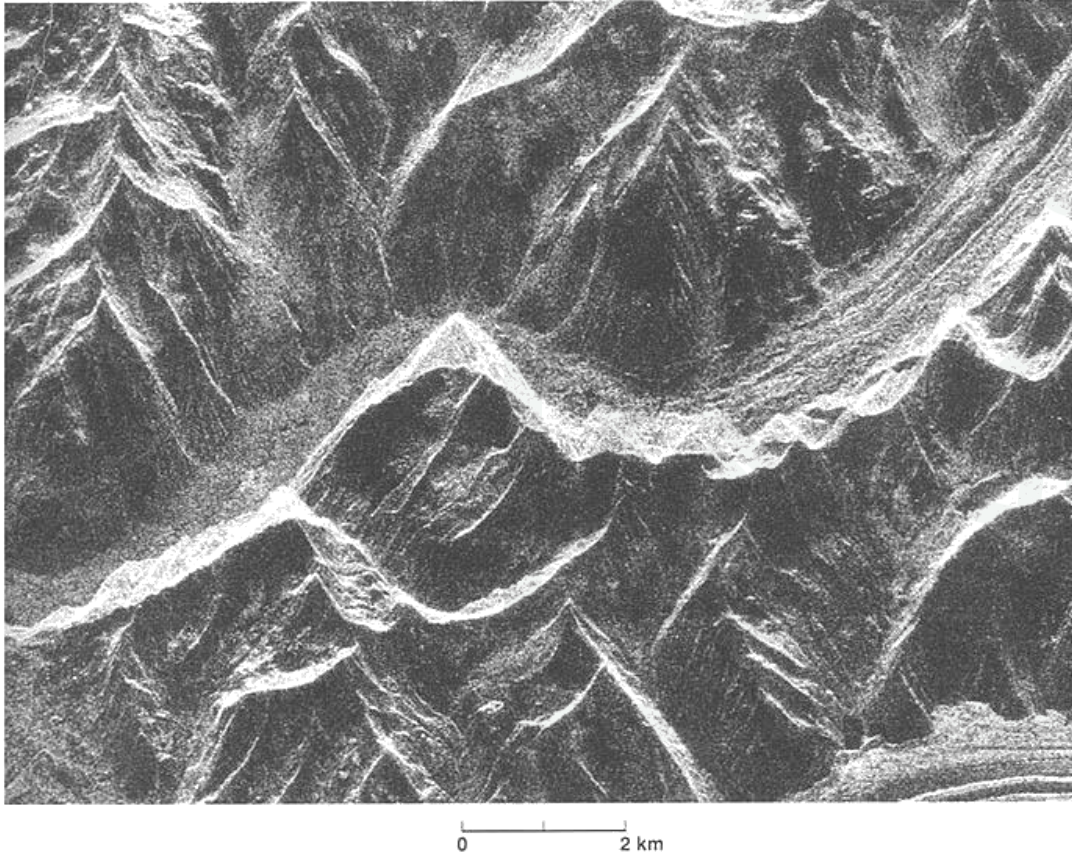
A radar koordináta-rendszerének irányai:

- azimut (haladási irány)
- range (oldalirány, a haladásra merőleges)

Áthajlás: a hegycsúcs “hamarabb” képződik le, mint a hegy lába.



KÉPALKOTÁS – ÁTHAJLÁS (LAYOVER)



KÉPALKOTÁS – ELŐRÖVIDÜLÉS (FORESHORTENING)

A radar felé néző
meredekben emelkedő
domboldal megrövidül, a
felvételezés irányába eső
lejtő meghosszabodik.

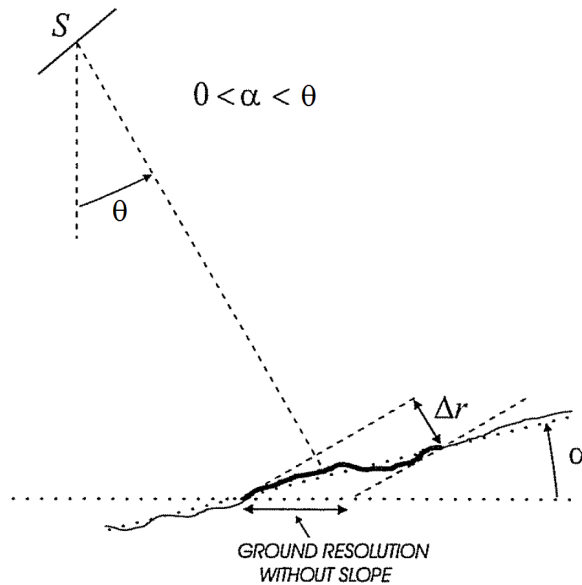


FIGURE 32 Foreshortening effect: $0 < \alpha < \theta$.
The resolution cell on the ground is highlighted.

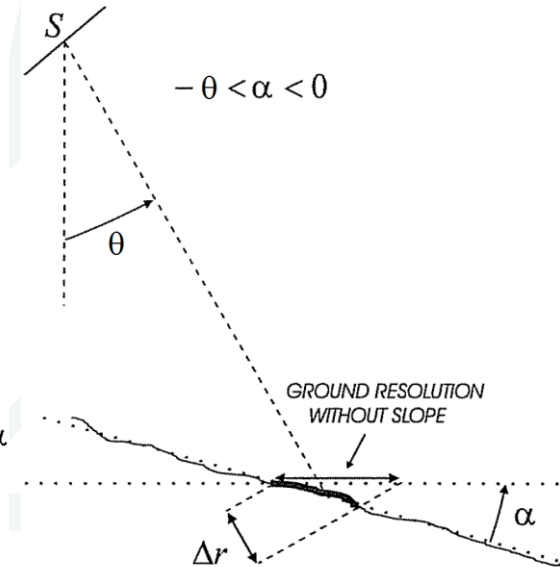


FIGURE 33 Foreshortening effect: $-\theta < \alpha < 0$.
The resolution cell on the ground is highlighted.

ELŐRÖVIDÜLÉS GEOKÓDOLÁS ELŐTT/UTÁN

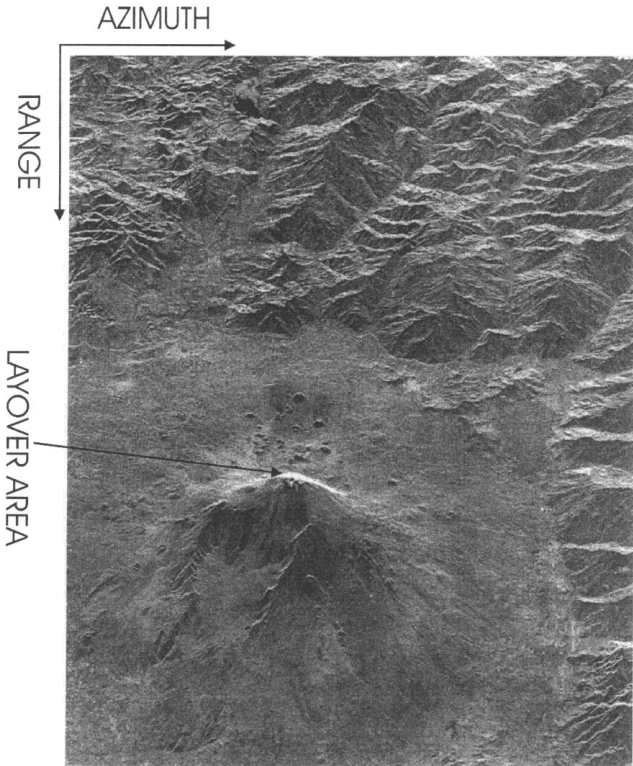


FIGURE 37A ERS-1 SAR image of the Mt. Etna, Italy, in the azimuth, slant range plane
(copyright ESA on ERS-1 raw data).



FIGURE 37B Geocoded version of the SAR image in Figure 37A.

KÉPALKOTÁS – RADARÁRNYÉK (SHADOW)

A meredek hegyoldalak/tereptárgyak kitakarhatják (árnyékolhatják) a mögöttük lévő objektumokat.

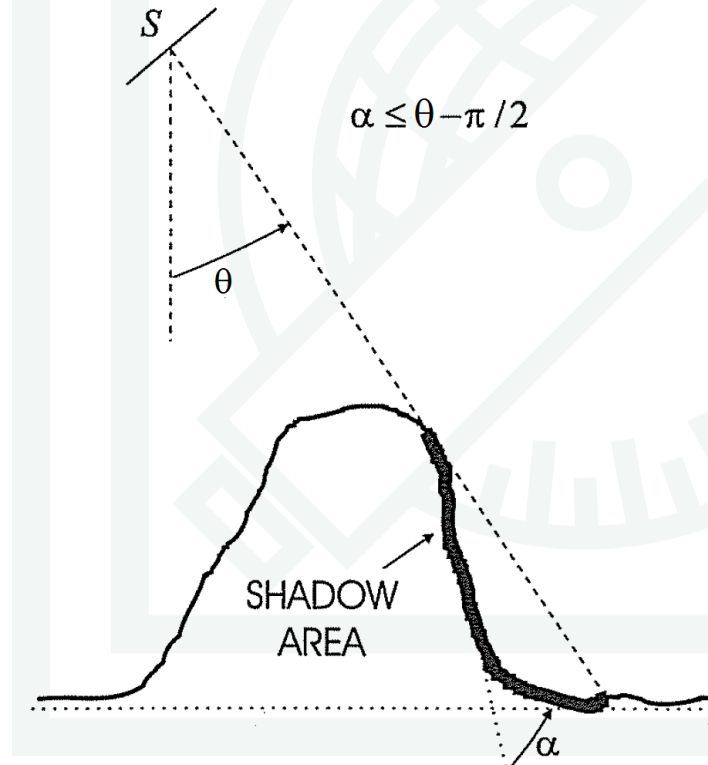
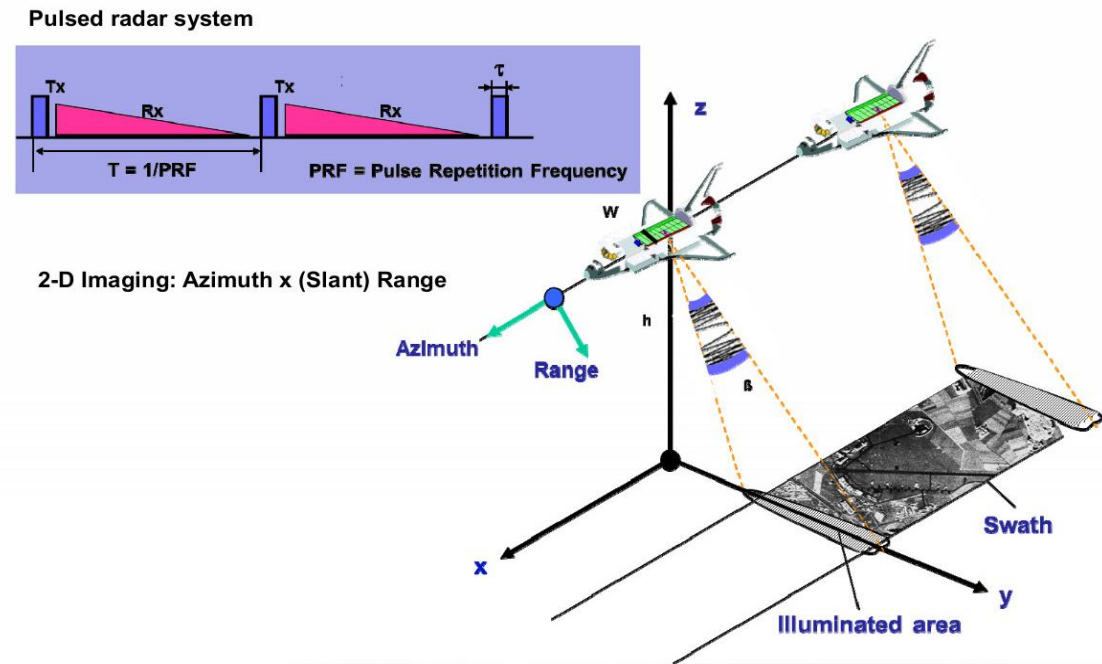


FIGURE 35 Shadow effect: $\alpha \leq \theta - \pi/2$.

SZINTETIKUS APERTÚRÁJÚ RADAR (SAR)

A gyenge azimut irányú felbontás növelésére a képalkotás egy bizonyos távolságon történik, ez a távolság less a szintetizált apertúra nagysága.

A Doppler-frekvencia felhasználásával egy objektum mindaddig részt vesz a képalkotásban, amíg a radar látómezejében tartózkodik.



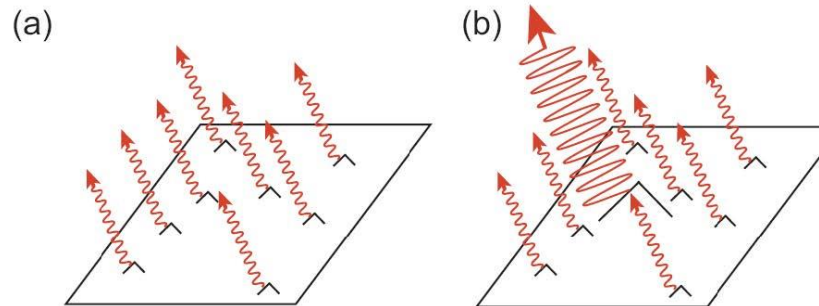
Forrás: Konstantinos P. Papathanassiou – Introduction to Synthetic Aperture Radar and SAR-Interferometry

KOMPLEX SAR FELVÉTEK (SLC)

Minden SAR képpont egy komplex szám:

- Valós rész: amplitúdó (anyag, nedvesség, beesési szög, stb.)
- Képzetes rész: fázis ($0-2\pi$, radar-terep távolság)

Képpont terepi mérete (Sentinel-1 IWS mód): $5 \times 20 \text{ m}$



Forrás: Malte Westerhaus, GIK-KIT

SAR INTERFEROMETRIA

Alapvetően kétféle elrendezés lehetséges:

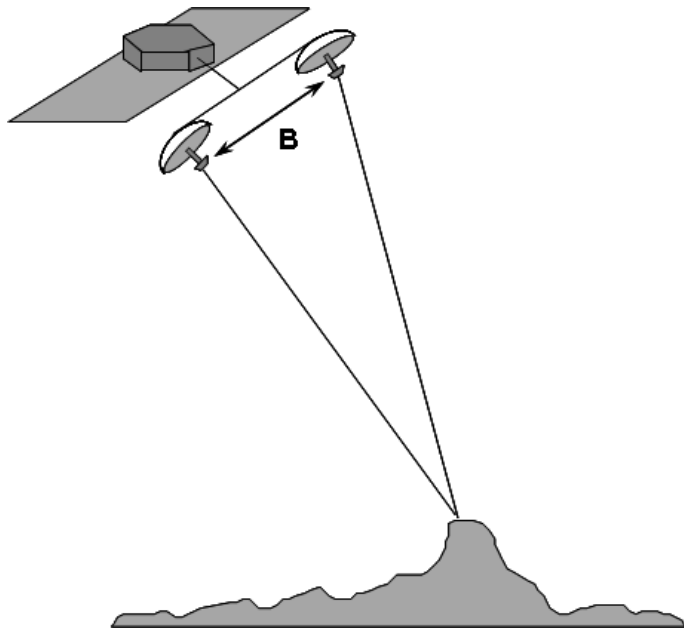
- Single-pass: egyetlen platform két radar szenzorral, célja a topográfia térképezése (pl. SRTM).
- Repeat-pass/multipass/multi-temporal: egy vagy több platform, platformonként egyetlen radar szenzorral, célja a felvételek közötti változások (mozgásvizsgálat, polarimetria stb.) monitorozása (pl. Envisat, TerraSAR-X, Sentinel-1A/B).

Forrás: Malte Westerhaus, GIK-KIT

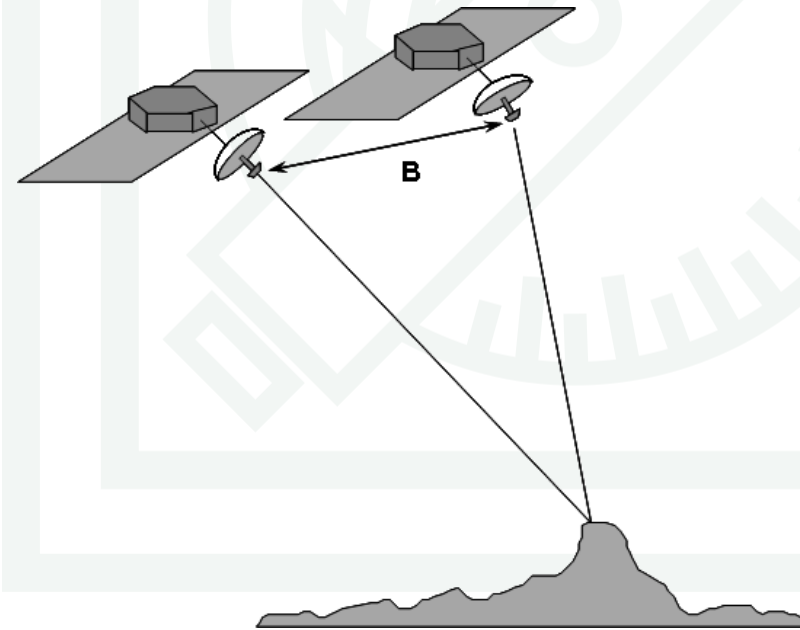


SAR INTERFEROMETRIA

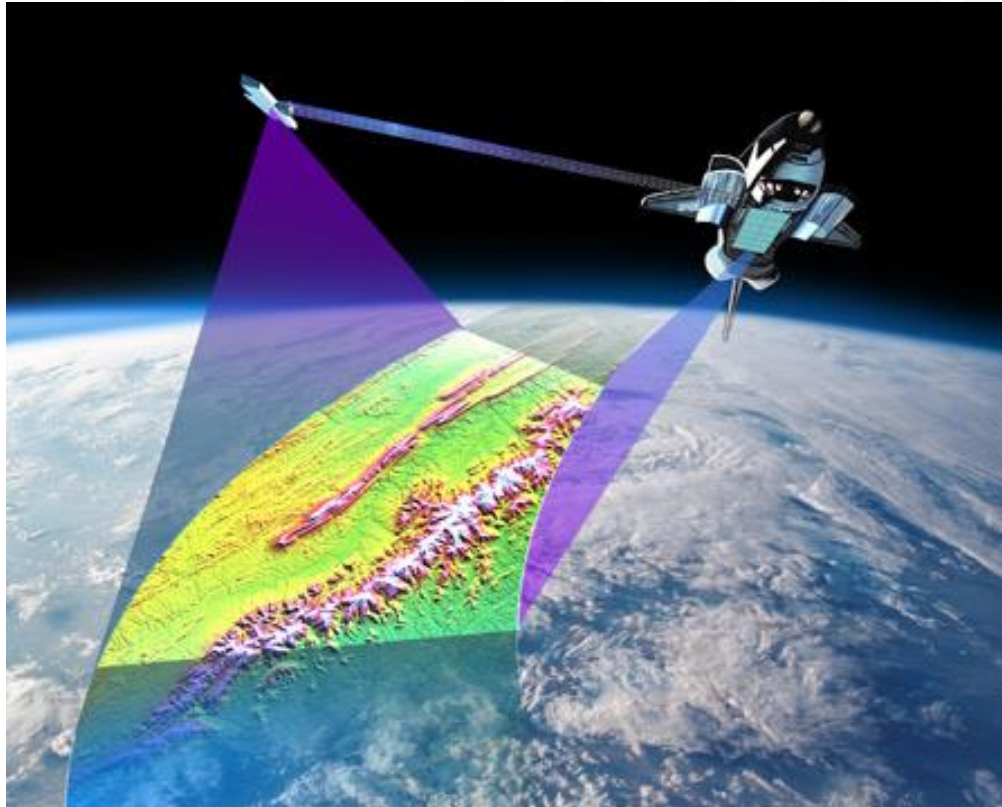
Single-pass



Repeat-pass



SINGLE-PASS (SRTM – SHUTTLE RADAR TOPOGRAPHY MISSION)



SINGLE-PASS INTERFEROMETRIA

Kapcsolat teremthető a referencia felszín feletti magasság ($z(x)$) és a bázisvonal által eredményezett δR eltérés között, tehát a fázisváltozásból meghatározható a referencia felszín feletti magasság.

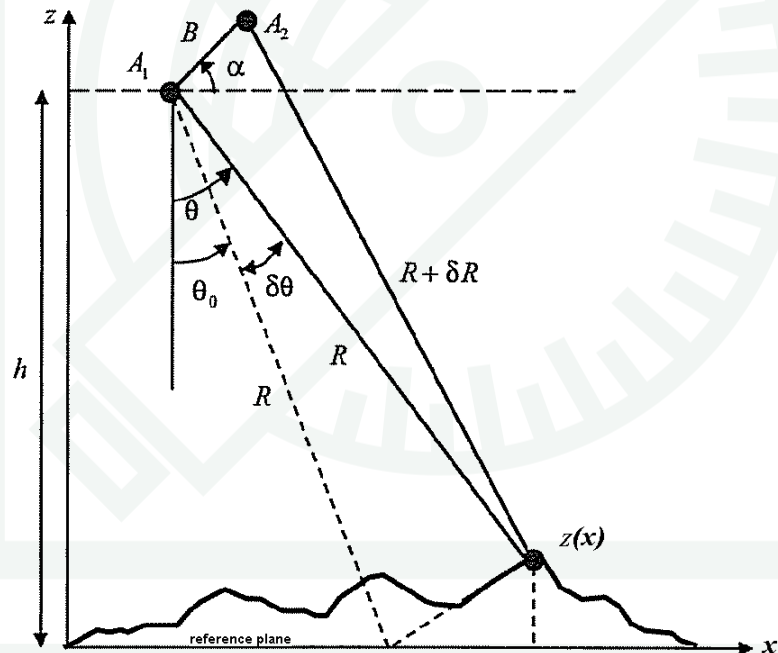
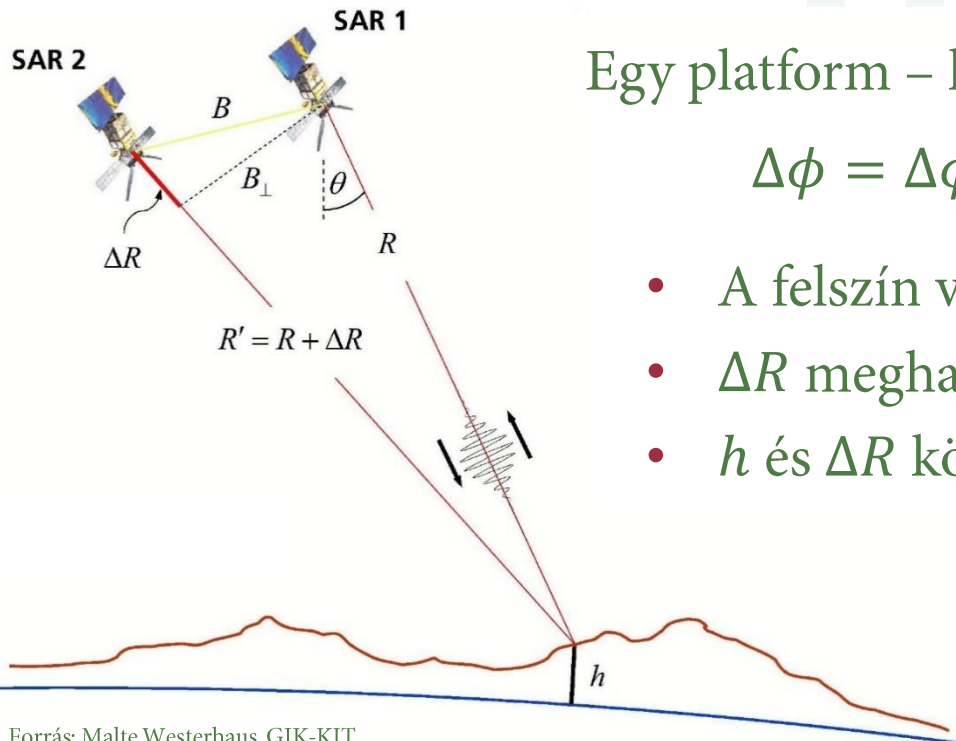


Figure 6-45. Basic interferometric radar geometry. The path length difference between the signals measured at each of the two antennas is a function of the elevation of the scatterer.

SINGLE-PASS INTERFEROMETRIA

Interferogram: két SLC fázisainak különbsége



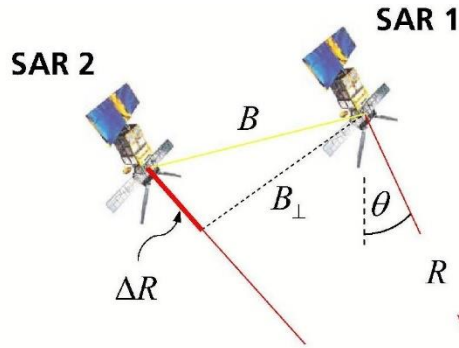
Egy platform – két antenna (single-pass)

$$\Delta\phi = \Delta\phi_{\text{ref}} + \Delta\phi_{\text{topo}} + \Delta\phi_{\text{zaj}}$$

- A felszín változásmentes
- ΔR meghatározható a fáziskülönbségből
- h és ΔR között függvénykapcsolat

Forrás: Malte Westerhaus, GIK-KIT

REPEAT-PASS INTERFEROMETRIA



Egy platform – egy antenna (multi-pass)

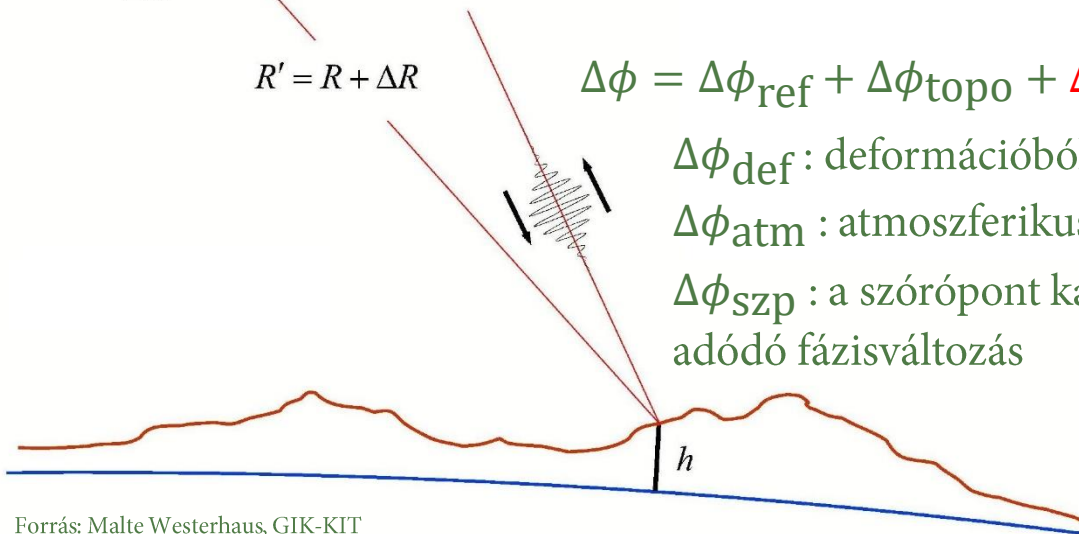
- A felszín megváltozhat
- Fáziskülönbséget okozó hatások:

$$\Delta\phi = \Delta\phi_{\text{ref}} + \Delta\phi_{\text{topo}} + \Delta\phi_{\text{def}} + \Delta\phi_{\text{atm}} + \Delta\phi_{\text{szp}} + \Delta\phi_{\text{zaj}}$$

$\Delta\phi_{\text{def}}$: deformációból származó fázisváltozás

$\Delta\phi_{\text{atm}}$: atmoszferikus hatásokból származó fázisváltozás

$\Delta\phi_{\text{szp}}$: a szórópont karakteristikájának megváltozásából adódó fázisváltozás



Forrás: Malte Westerhaus, GIK-KIT

INTERFEROGRAM

Két SLC felvétel fáziskülönbségét tartalmazó kép.

Egy adott pixel SLC1-nél: $u_1 = r_1 \cdot e^{-i\phi_1}$

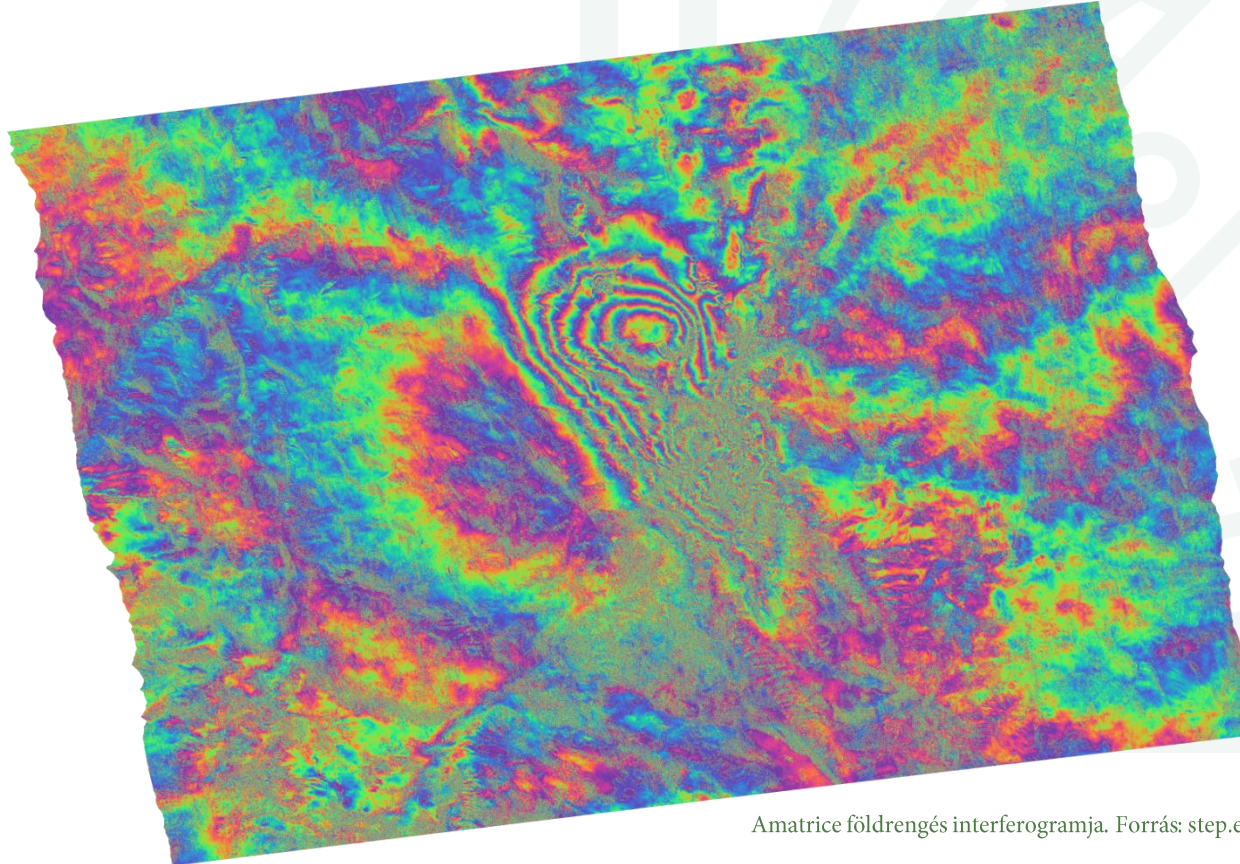
Ugyanez a pixel SLC2-nél: $u_2 = r_2 \cdot e^{-i\phi_2}$

Az interferogramot úgy kapjuk, ha megszorozzuk SLC2-t SLC1 komplex konjugáltjával:

$$u_2 \cdot u_1^* = r_1 \cdot e^{-i\phi_2} \cdot r_2 \cdot e^{-i\phi_1} = r_1 \cdot r_2 \cdot e^{-i(\phi_2 - \phi_1)}$$

Vagyis az interferogramon minden pixel a fáziskülönbséget tartalmazza.

INTERFEROGRAM

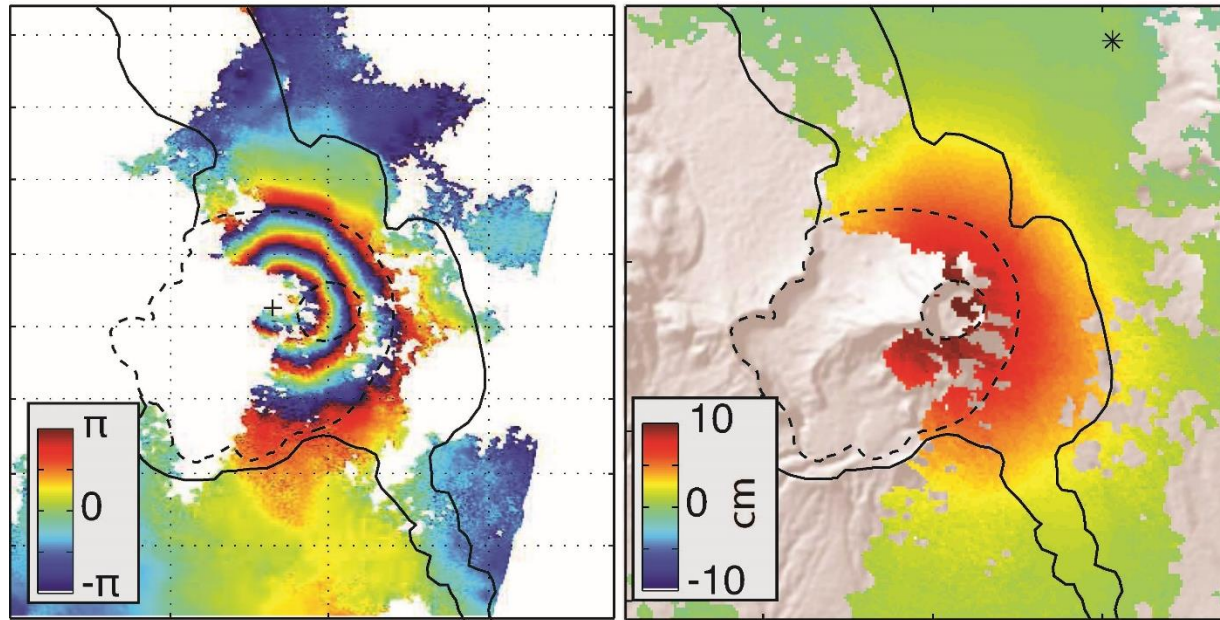


Amatrice földrengés interferogramja. Forrás: step.esa.int



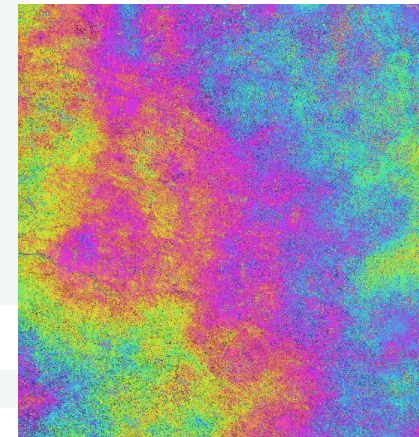
FÁZISKIBONTÁS

Fáziskibontás (unwrapping): a ciklustöbbértelműségek meghatározása és hozzáadása a fázisértékekhez.

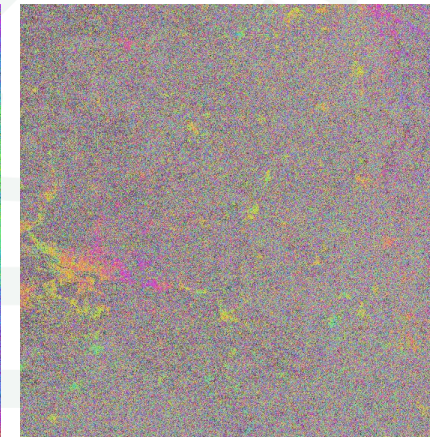


DEKORRELÁCIÓ

- Dekorreláció: a felvételek között nagymértékű és véletlenszerű fázisváltozás értelmezhetetlené teszi az interferogramot.
- Általában kisebb mértékű mozgásokat vizsgálunk hosszabb távon.
- 50–60 SLC-ből álló halmaz
- Dekorrelációs hatások
 - *Bázisvonal dekorreláció*
 - *Időbeli dekorreláció*
 - Atmoszféra
 - Visszaverő karakterisztika
 - Nagyobb felszínváltozás



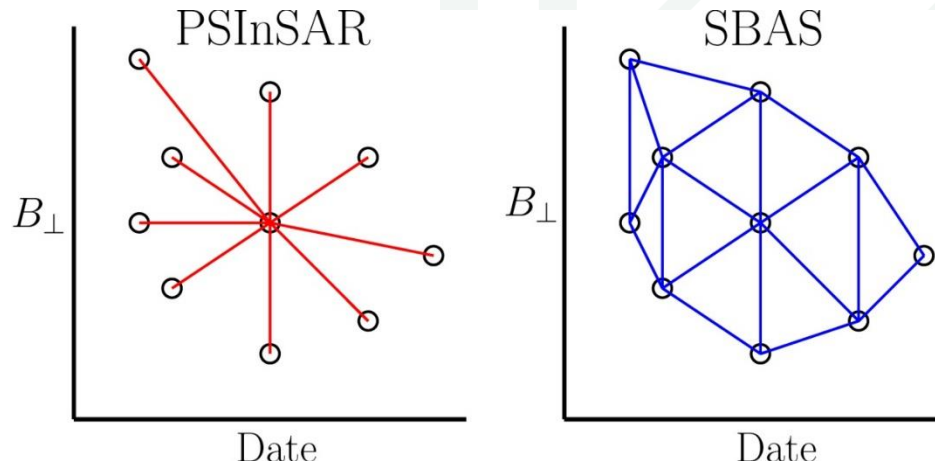
1 nap



1015 nap

MULTI-TEMPORAL INSAR

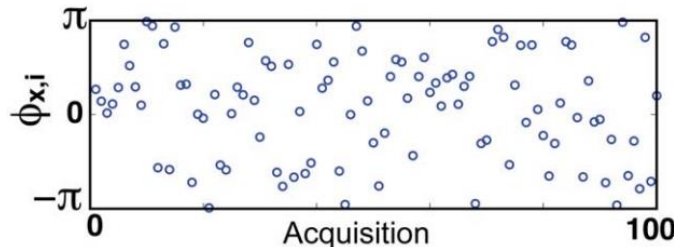
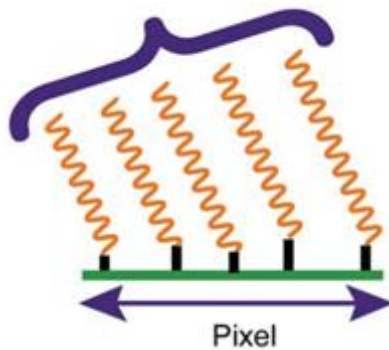
- PSInSAR: Persistent/Permanent Scatterer (állandó szórópont)
 - *Egy master felvétel*
- SBAS: Small BAseLine Subset
 - *Hálózat kialakítása, minimalizálva a bázisvonalakat*



Forrás: South Aegean Geodynamic And Tsunami Monitoring Platform

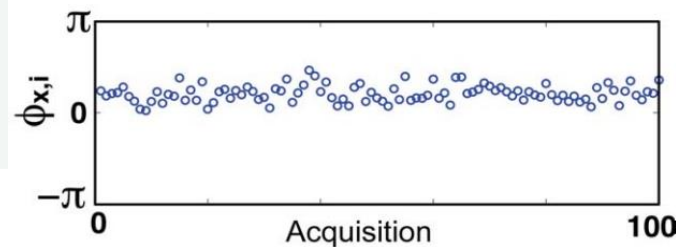
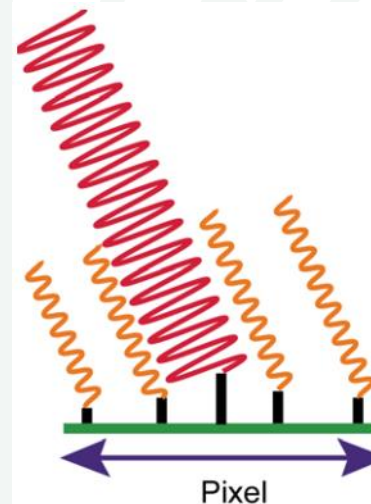
ÁLLANDÓ SZÓRÓPONTOK (PS)

A jelek összeadódnak adják ki egyetlen pixel fázisát



Forrás: Andy Hooper – Persistent Scatterer InSAR

Egyetlen visszaverő dominálja a pixelt



FELDOLGOZÁS

1. Adatok beszerzése (Sentinel esetében: Copernicus Open Access Hub vagy 3rd party adatbankok)
2. Előfeldolgozás: a vizsgált terület leválogatása, képek összefűzése, stb.
3. Koregisztráció (Sentinel-1 esetében kritikus)
4. Interferogramok képzése
5. Szabályos fázistényezők (földgörbület, topográfia) eltávolítása
6. Előzetes PS pontok kiválasztása
7. Atmoszféra és maradék hibák hatásának csökkentése szűréssel
8. Végleges PS pontok meghatározása
9. Fáziskibontás
10. Fáziskülönbségek műholdirányú elmozdulássá konvertálása

SENTINEL-1 A/B

- Része a Copernicus földmegfigyelési programnak
- C-sávú radar
- 2014/2015 április óta, 6 napos visszatérési idő
- Ingyenesen hozzáférhető termékek a Copernicus Open Access Hubon keresztül
- Nyílt forráskódú szoftverek: API-k, feldolgozó szoftverek, cloud computing
- Interferometriára és polarimetriára kihegyezett észlelési mód

ADATOK BESZERZÉSE: COPERNICUS OPEN ACCESS HUB

Interaktív webes felület
vagy az API
használata.

The screenshot shows the Copernicus Open Access Hub search interface on the left and a map of Northern Germany on the right. The search interface includes fields for sorting (Ingestion Date, Descending), sensing period (From: 2017/08/01 to 2017/08/31), ingestion period (From: to:), mission selection (Sentinel-1 and Sentinel-2), satellite platform (S1A_*), product type (SLC), polarisation (VV), sensor mode, relative orbit number (from 1 to 175), collection, and cloud cover percentage (e.g., 0 TO 9.4). The map displays a study area in orange, centered around Hamburg, with various locations labeled such as Hamburg, Elbmarsch, Wedel, Pinneberg, Norderstedt, Ahrensburg, Geesthacht, Lauenburg, Lüneburg, Münster, and Osnabrück. A legend indicates that orange areas represent the study region.

Insert search criteria...

S1A_IW_SLC__1SDV_20170831T053306_20170831T053333_018163_01E845_EB71

[https://scihub.copernicus.eu/dhus/odata/v1/Products\('b7ccb84a-bbdf-4606-85e9-586631150285'\)/\\$/value](https://scihub.copernicus.eu/dhus/odata/v1/Products('b7ccb84a-bbdf-4606-85e9-586631150285')/$/value)

Display 1 to 15 of 15 prod
Order By: Ingestion Date

Request Done: (footprint:
53.02563692002107,10.0213
53.41566618494565,9.1829)

S1A | SAR-C | S1A_IW_SLC

Download URL: [https://scihub.copernicus.eu/dhus/odata/v1/Products\('b7ccb84a-bbdf-4606-85e9-586631150285'\)/\\$/value](#)
Mission: Sentinel-1

S1A | SAR-C | S1A_IW_SLC

Download URL: [https://scihub.copernicus.eu/dhus/odata/v1/Products\('b7ccb84a-bbdf-4606-85e9-586631150285'\)/\\$/value](#)
Mission: Sentinel-1

S1A | SAR-C | S1A_IW_SLC

Download URL: [https://scihub.copernicus.eu/dhus/odata/v1/Products\('b7ccb84a-bbdf-4606-85e9-586631150285'\)/\\$/value](#)
Mission: Sentinel-1

S1A | SAR-C | S1A_IW_SLC

Download URL: [https://scihub.copernicus.eu/dhus/odata/v1/Products\('b7ccb84a-bbdf-4606-85e9-586631150285'\)/\\$/value](#)
Mission: Sentinel-1

S1A | SAR-C | S1A_IW_SLC

Download URL: [https://scihub.copernicus.eu/dhus/odata/v1/Products\('b7ccb84a-bbdf-4606-85e9-586631150285'\)/\\$/value](#)
Mission: Sentinel-1

S1A | SAR-C | S1A_IW_SLC

Download URL: [https://scihub.copernicus.eu/dhus/odata/v1/Products\('b7ccb84a-bbdf-4606-85e9-586631150285'\)/\\$/value](#)
Mission: Sentinel-1

Products per page: 25

Footprint



Quicklook



Attributes

Summary

Date: 2017-08-31T05:33:06.144Z

Filename: S1A_IW_SLC__1SDV_20170831T053306_20170831T053333_018163_01E845_EB71.SAFE

Identifier: S1A_IW_SLC__1SDV_20170831T053306_20170831T053333_018163_01E845_EB71

Instrument: SAR-C

Mode: IW

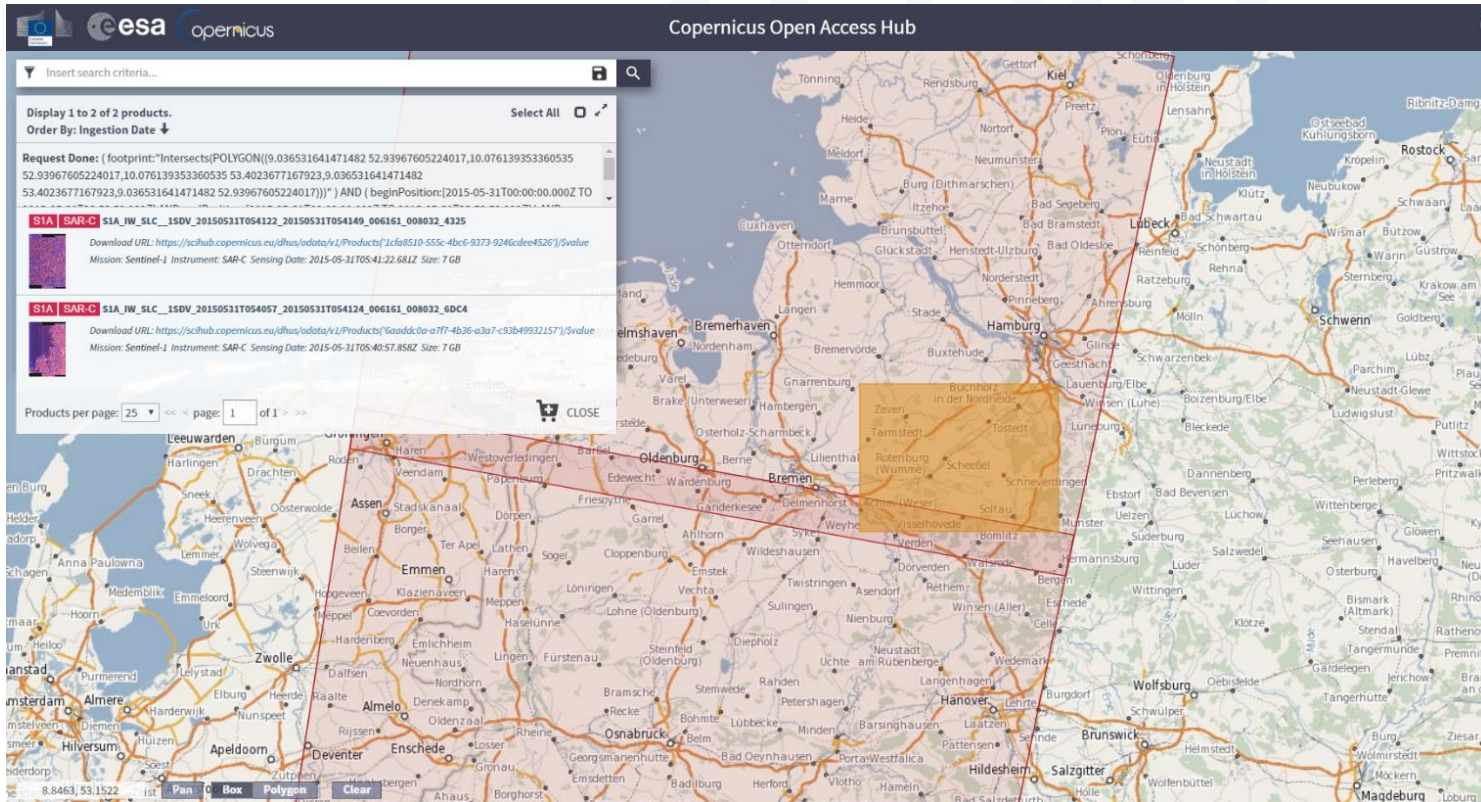
Satellite: Sentinel-1

Size: 7.65 GB

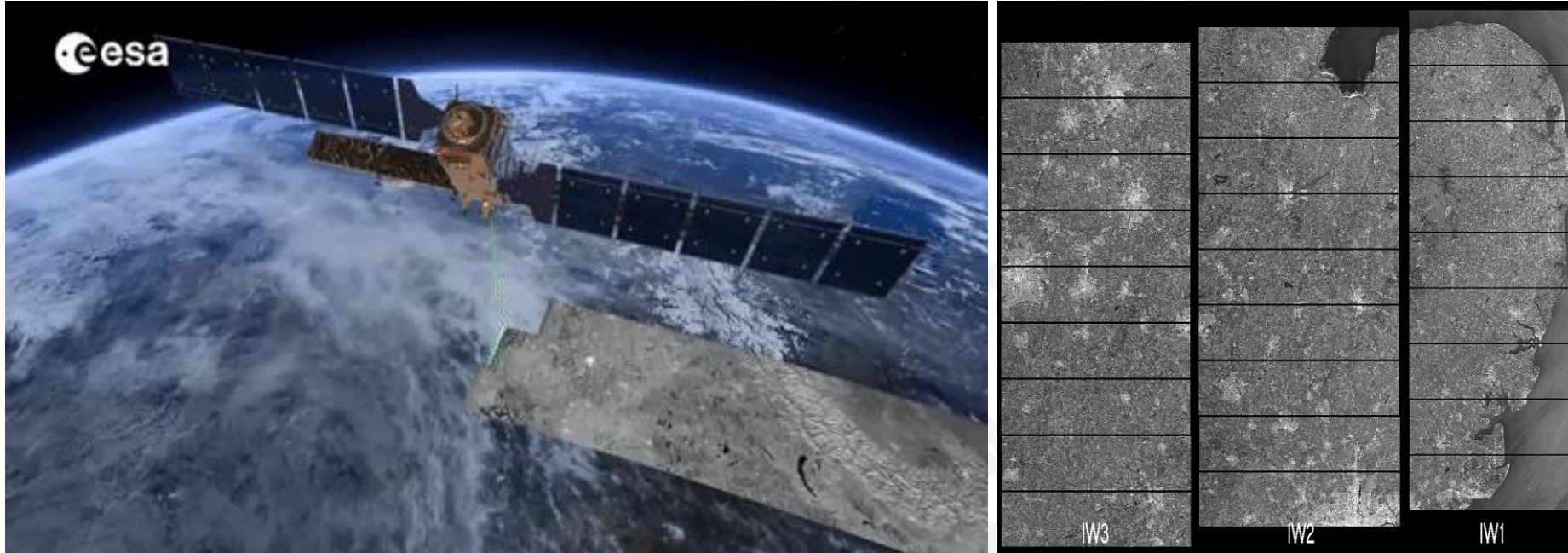
Inspector



ADATOK ÖSSZEFÜZÉSE



SENTINEL-1 IW ÉSZLELÉSI MÓD

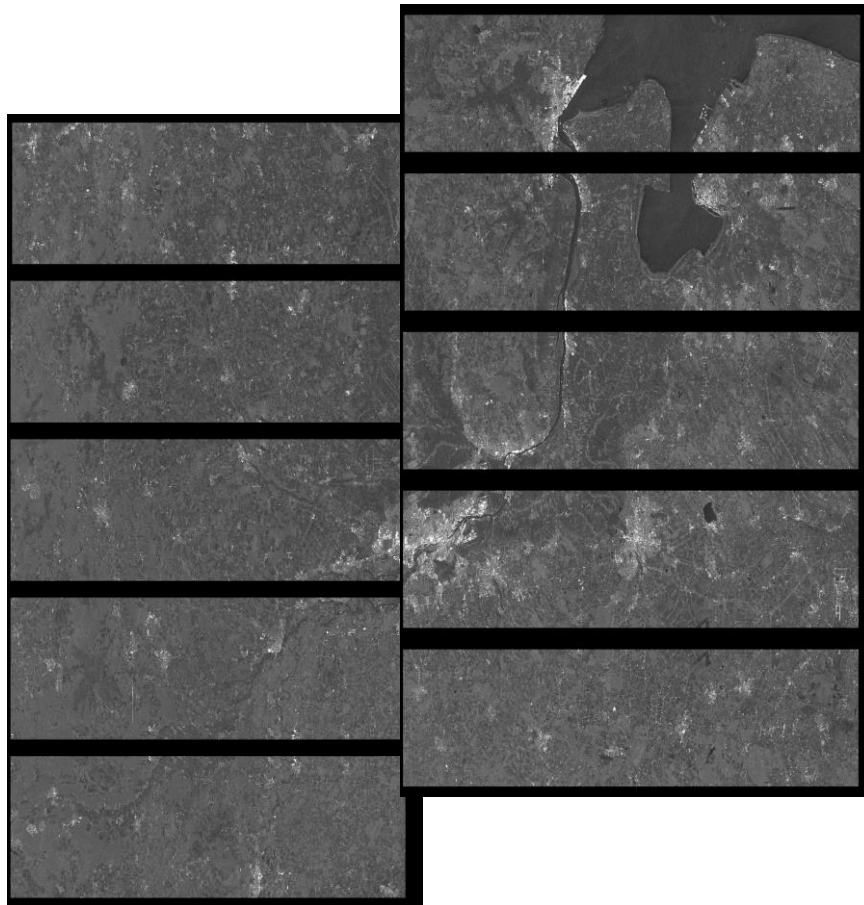


1 felvétel = 3 alsáv, 1 alsáv = 9 burst

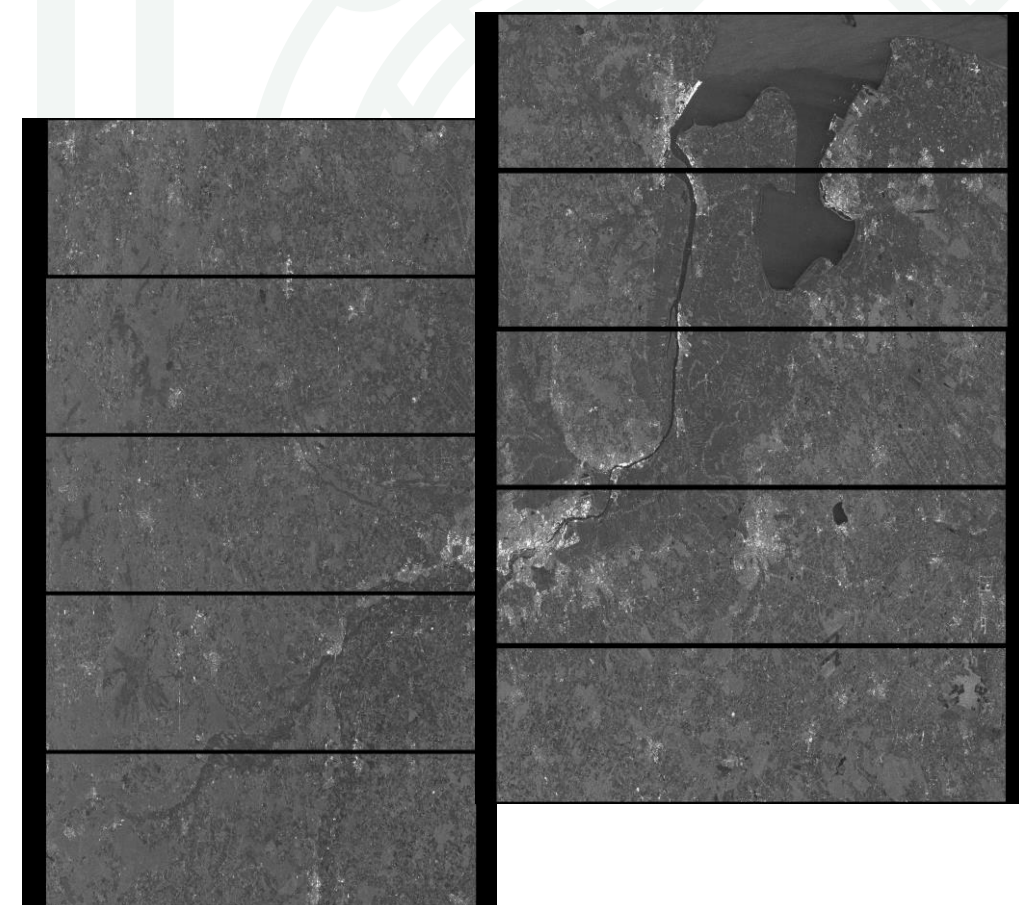
Az alsávok közötti átfedés ~2 km, a burstök közötti átfedés ~200 m.

A területnek megfelelő burstöket le kell válogatni.

2014. 12. 02.



2015. 04. 13.

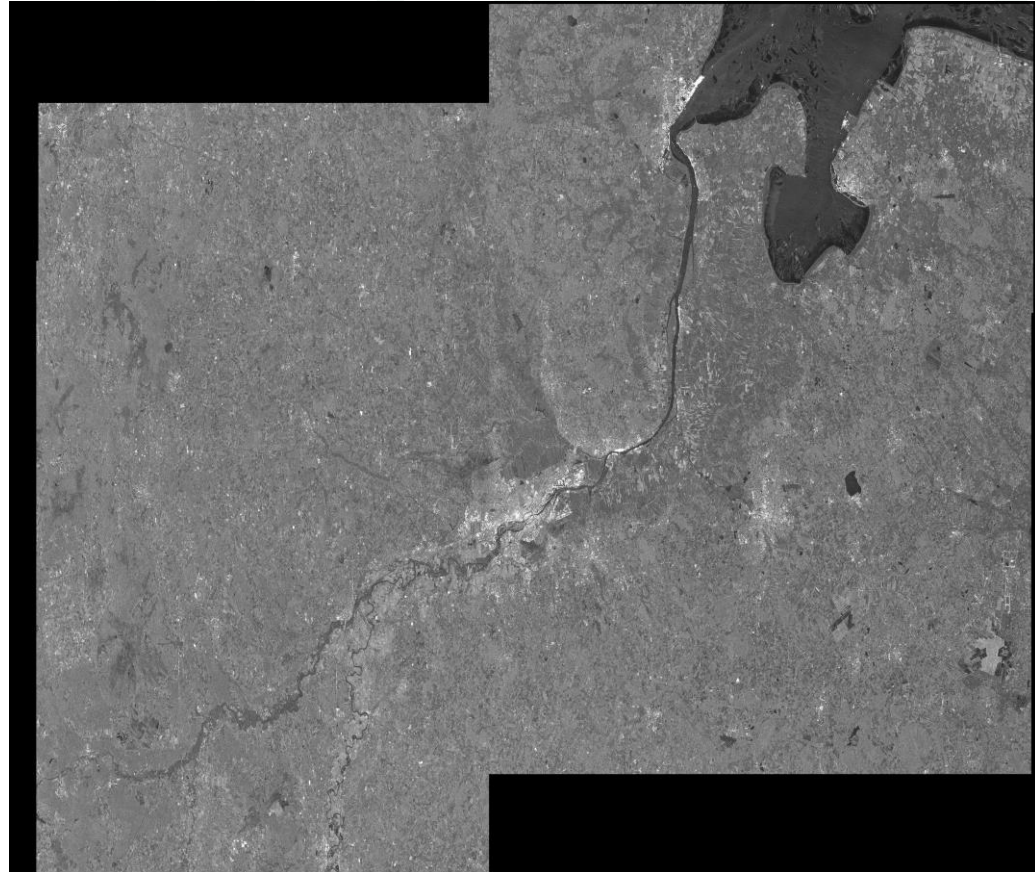


SLC MOZAIK + MULTILOOKING

Multilooking: átlagolás

A pixelek az oldalra nézés miatt alapvetően téglalap alakúak, ezekből a multilookinggal négyzetes pixeleket csinálunk.

Tipikus multilooking értékek: 10 (range) x 2 (azimuth)

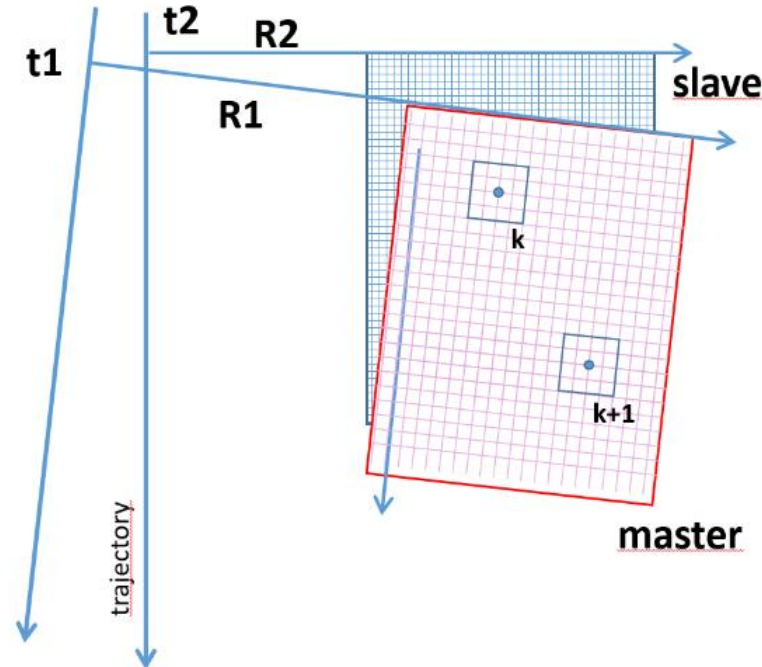


KOREGISZTRÁCIÓ

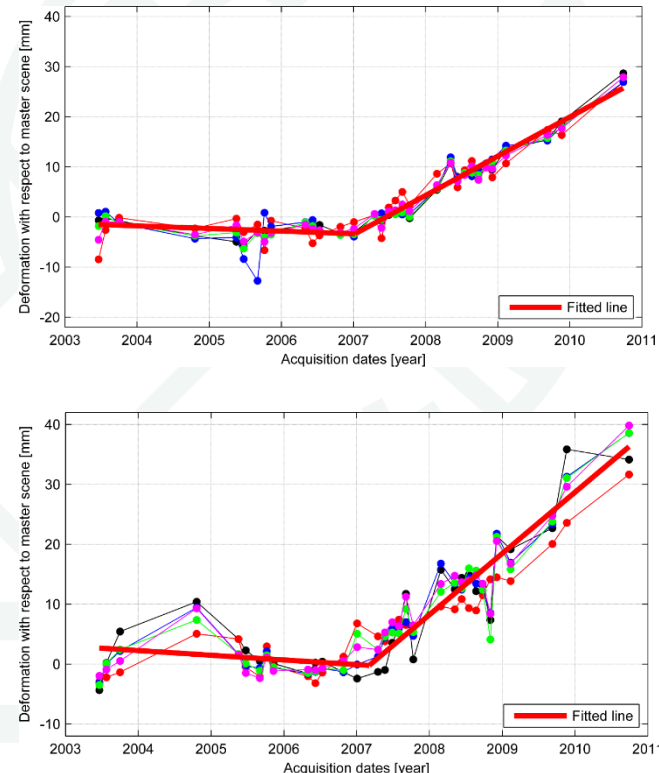
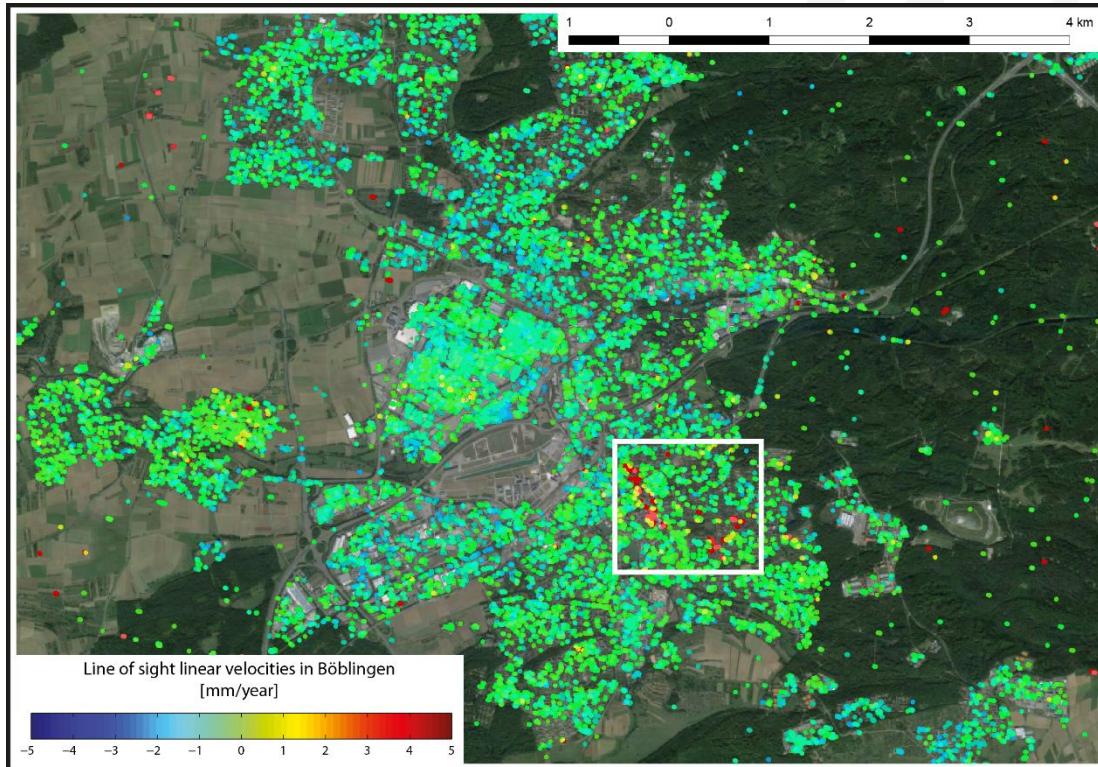
A Sentinel felvételek esetében a koregisztrációt azimuth irányban ~ 0.002 pixel pontossággal kell elvégezni, különben a burstök határainál fázisugrások jönnek létre.

Ahhoz, hogy ez a pontosság elérhető legyen, a feldolgozás során felhasználjuk a burstök közötti átfedő területet. Egyetlen felvételen az átfedő területből interferogram készíthető, ezekből az interferogramokból pedig kettős különbségek vezethetők le.

A kettős különbségek kicsiny eltérésnél kapcsolatba hozhatók az azimuth irányú eltolással, ez alapján javítják az azimuthirányú eltolás értékét.



PS PONTOK DEFORMÁCIÓI A FELDOLGOZÁS UTÁN



Böblingen város területe (piros = csökkenő LOS távolság, kék = növekvő LOS távolság).

ELŐNYÖK ÉS HÁTRÁNYOK

Előnyök:

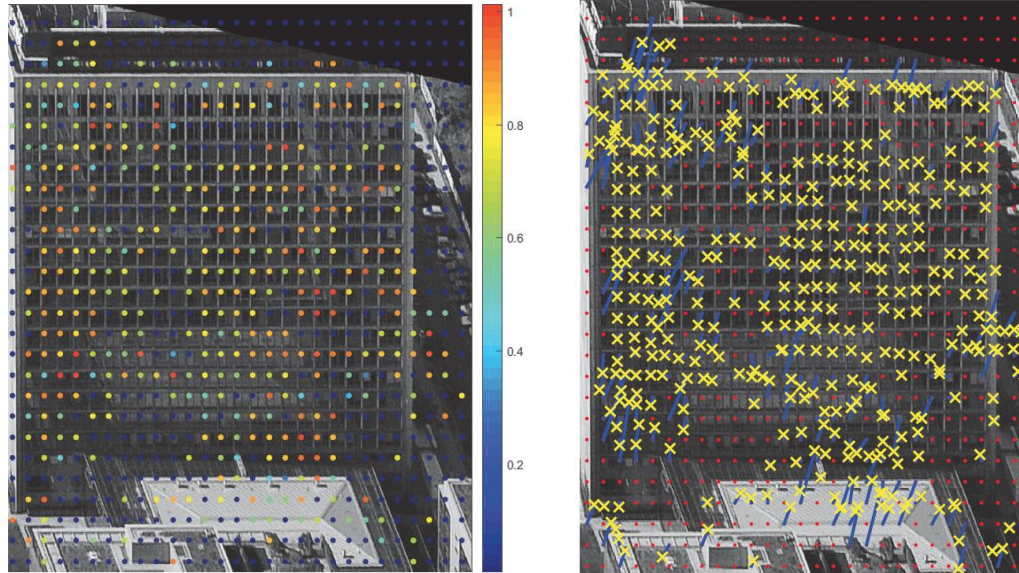
- Nagy területre kiterjedésű hatékony vizsgálatok
- Lassú mozgások nagypontosságú meghatározása az interferometrikus jelleg miatt
- Archív adatok felhasználhatósága

Hátrányok:

- Nem mi választjuk meg a mérés helyét
- Az elmozdulások LOS irányban értelmezettek (fel- és leszálló ágú pályák használata)
- Az alkalmazhatóság függ a felszínborítástól
- Számítási kapacitás és tárhelyigény

KUTATÁSOK

- Lukas Schack, Uwe Soergel: Matching Persistent Scatterers to Optical Oblique Images



Forrás: Lukas Shack, Uwe Soergel. "Matching Persistent Scatterers to Optical Oblique Images." in *IEEE Computer Vision and Pattern Recognition Workshops*, Boston, MA, 2015

- David Bekaert: TRAIN - *Toolbox for Reducing Atmospheric InSAR Noise*